

# ANALISI DEI CONSUMI

ITALIANO

Versione 1.5 - Settembre 2025

SCA CONTROL - I sistemi di controllo per i tuoi processi



#### 1 Introduzione

In questo report viene proposta una comparazione tra il controllore AC e il controllore PID in termini di consumo. Per consumo intendiamo l'energia del segnale di controllo, ossia l'energia del segnale u(t) calcolata sull'intervallo temporale compreso tra  $t_1$  e  $t_2$ :

$$E = \int_{t_1}^{t_2} u(t)^2 dt \tag{1}$$

In pratica, ciò che interessa è il consumo di energia elettrica, che tuttavia dipende dallo specifico processo da controllare. È comunque strettamente legato all'energia del segnale di controllo, spesso con una relazione proporzionale<sup>1</sup>. Lo studio dell'energia del segnale di controllo fornisce quindi indicazioni significative riguardo al consumo energetico effettivo.

## 2 Setup sperimentale

Gli esperimenti sono stati condotti in un ambiente simulato con condizioni ideali (assenza di rumore, parametri perfettamente noti, ecc.). Dato uno specifico processo, entrambi i controllori (AC e PID) sono stati progettati per una combinazione prefissata di specifiche  $(\alpha, \beta...)$ . Si veda il documento "preliminari" per la spiegazione di tali parametri.

Per la misura del consumo viene applicato un riferimento a gradino e l'energia è calcolata tramite (1) sul segnale di controllo, assumendo come intervallo di integrazione il tempo di assestamento. Per i controllori AC e PID si ottengono rispettivamente  $E_{AC}$  ed  $E_{PID}$ . Definiamo quindi il rapporto:

$$E_r := E_{PID}/E_{AC} \tag{2}$$

Dunque,  $E_r > 1$  indica che il controllore AC genera un segnale di controllo con minore consumo energetico.

Il test viene ripetuto per altre combinazioni di specifiche e i risultati vengono riportati in forma grafica. L'intera procedura viene ripetuta per differenti strutture di processo<sup>2</sup>.

#### 2.1 Processi 1p

In Fig. 1 sono riportati i valori di  $E_r$  per il caso di processo 1p. Si osserva che  $E_r$  cresce leggermente al diminuire di  $\alpha$  e all'aumentare di  $\gamma$ . Non emerge invece una dipendenza chiara da  $\beta$  e dal requisito di overshoot. Inoltre, per ogni combinazione di specifiche,  $E_r$  risulta maggiore di 1: il controllore AC fornisce quindi sempre un segnale di controllo con minore consumo energetico.

#### 2.2 Processi 1p1z

In Fig. 2 sono riportati i valori di  $E_r$  per il caso di processo 1p1z. I risultati sono simili al caso 1p:  $E_r$  cresce leggermente al diminuire di  $\alpha$  e all'aumentare di  $\gamma$ . Non emerge

<sup>&</sup>lt;sup>1</sup>Per conoscere con precisione il consumo di energia elettrica è necessaria un'analisi specifica del processo, poiché esso dipende anche da diversi parametri non considerati in questo studio, come ad esempio il punto di lavoro del sistema.

<sup>&</sup>lt;sup>2</sup>Si può dimostrare che  $E_r$  non dipende dal guadagno statico del processo, per cui i risultati hanno validità generale.



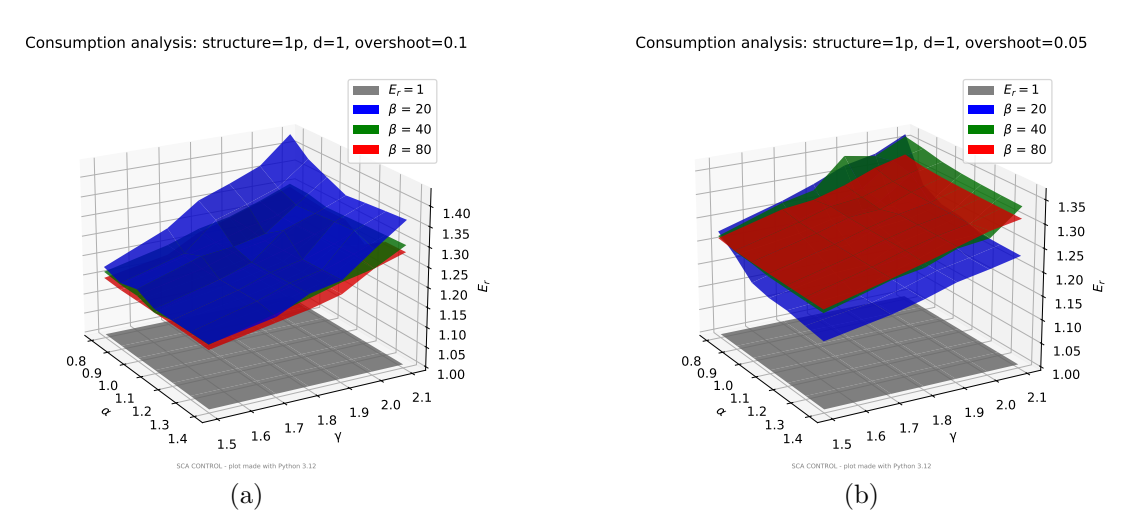


Figura 1: Test per processi 1p: a) 10% di overshoot, b) 5% di overshoot.

una dipendenza chiara da  $\beta$  e dal requisito di overshoot. Inoltre, per tutte le specifiche,  $E_r$  è maggiore di 1: il controllore AC fornisce sempre un segnale di controllo con minore consumo energetico.

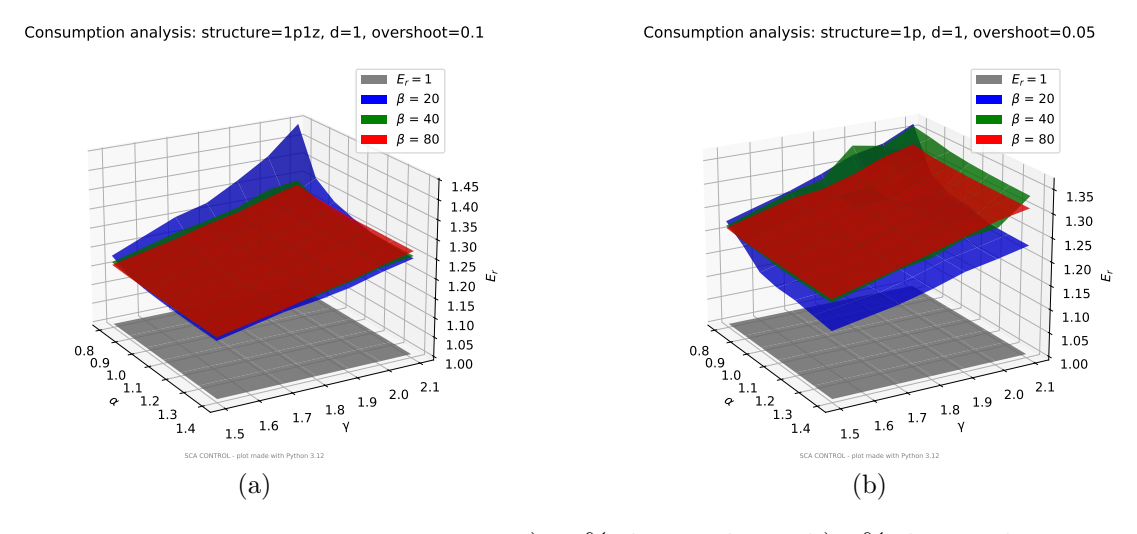


Figura 2: Test per processi 1p1z: a) 10% di overshoot, b) 5% di overshoot.

#### 2.3 Processi 2p

In Fig. 3 sono riportati i valori di  $E_r$  per il caso di processo  $2p^3$ .

Nel caso di poli reali e coincidenti (Fig. 3.a e Fig. 3.b),  $E_r$  aumenta in generale con  $\beta$  e  $\gamma$ , mentre rimane pressoché costante al variare dell'overshoot. In ogni caso,  $E_r$  è sempre molto maggiore di 1: il controllore AC garantisce quindi un segnale di controllo con consumo energetico significativamente inferiore.

 $<sup>^3</sup>$ Per i processi 2p e 2p1z non è stato possibile progettare il controllore PID come funzione di  $\alpha,$  quindi la dipendenza da  $\alpha$  non è considerata.



Per il caso di poli complessi coniugati (Fig. 3.c), le considerazioni sono analoghe, ma con valori di  $E_r$  ancora maggiori, quindi con un ulteriore vantaggio in termini di consumo per il controllore AC.

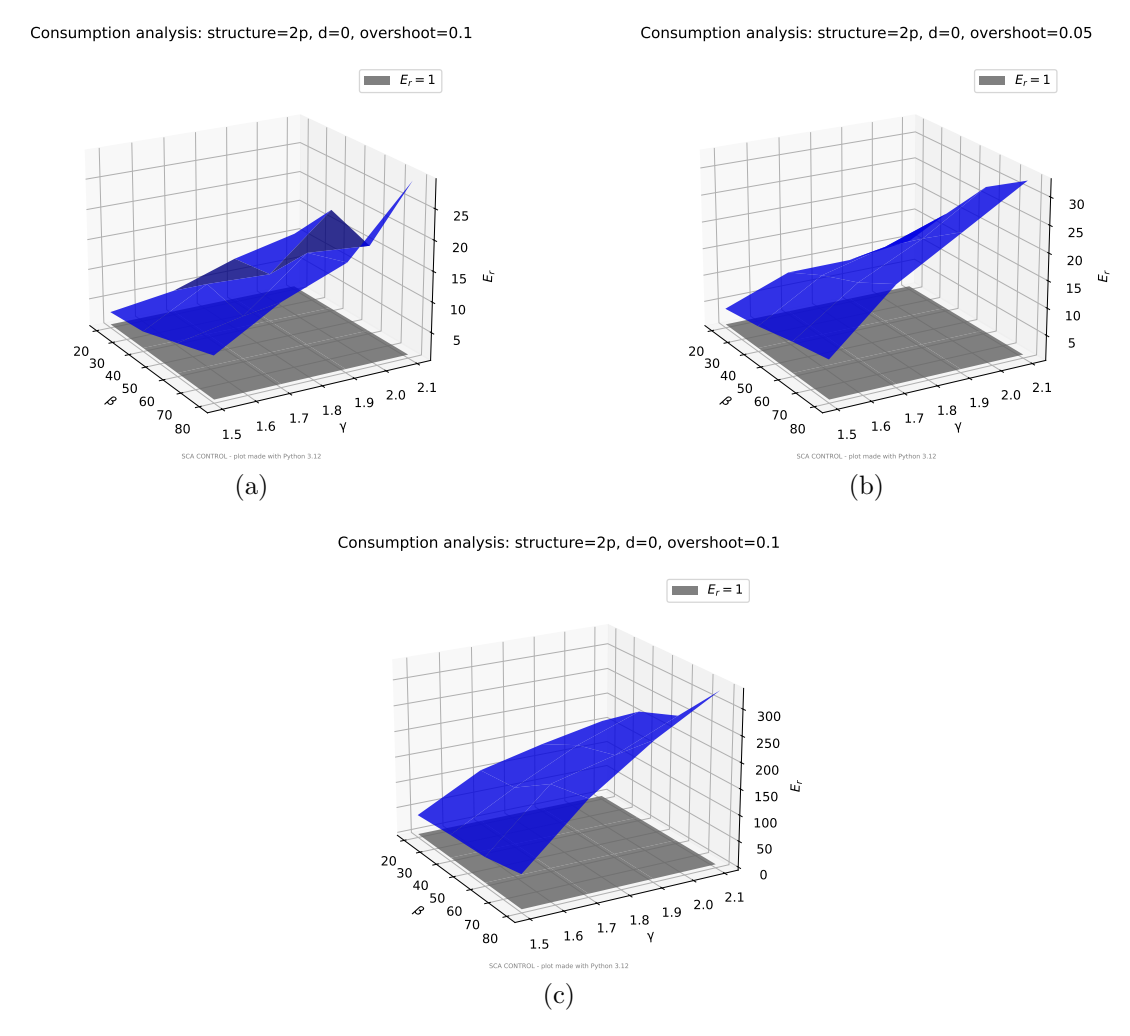


Figura 3: Test per processi 2p: a) 10% di overshoot con poli reali e coincidenti, b) 5% di overshoot con poli reali e coincidenti, c) 10% di overshoot con poli complessi coniugati.

## 2.4 Processi 2p1z

In Fig. 4 sono riportati i valori di  $E_r$  per il caso di processo 2p1z. I risultati sono simili al caso 2p:  $E_r$  cresce in generale con  $\beta$  e  $\gamma$ , rimane quasi costante al variare dell'overshoot e risulta sempre molto maggiore di 1. Anche in questo caso, il controllore AC fornisce quindi un segnale di controllo con minore consumo energetico.

#### 3 Conclusioni

Gli esperimenti mostrano che, in generale, il controllore AC garantisce un segnale di controllo con minore consumo energetico. Questo effetto è particolarmente evidente nei casi 2p e 2p1z.



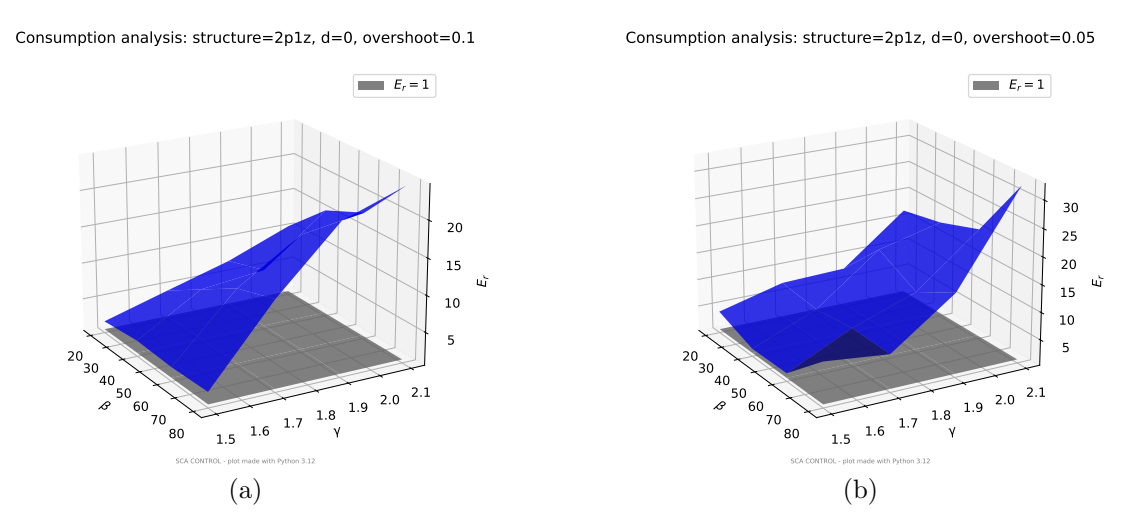


Figura 4: Test per processi 2p1z: a) 10% di overshoot, b) 5% di overshoot.

La ragione risiede nella forma impulsiva della risposta al gradino del segnale di controllo PID. Infatti, negli esperimenti con processi 2p e 2p1z, la progettazione del controllore PID è stata possibile con valori ridotti di  $\alpha$ , il che comporta un contributo derivativo più marcato (si veda il documento "preliminari"). Al contrario, la risposta più regolare del segnale di controllo AC conduce a un consumo energetico inferiore.



# Riferimenti bibliografici

- [1] P. Cuff, ELE 301: Signals and Systems, Princeton University, 2011-12.
- [2] J. C. Willems, *Dissipative Dynamical Systems*, *Part I: General Theory*, Massachusetts Institute of Technology, 1972.
- [3] D. J. Hill, P. J. Moylan, Dissipative Dynamical Systems: Basic Input-Output and State Properties, University of California, Berkeley, 1980.



#### Contatti

Per ulteriori informazioni non esitate a contattare SCA CONTROL tramite:

 $\bullet$  E-mail: support@scacontrol.com

• Telefono: +39 3429411838

• Sito web: www.scacontrol.com

Nota: SCA CONTROL si riserva il diritto di apportare modifiche tecniche o aggiornare i contenuti del presente documento senza preavviso. Tutti i diritti relativi al documento, compresi contenuti e illustrazioni, sono riservati. È vietata la riproduzione, la distribuzione a terzi o l'utilizzo, anche parziale, senza autorizzazione scritta di SCA CONTROL.